

---

# Evaluation de la diffusivité thermique à $T > 1000^{\circ}\text{C}$ de composites $\text{SiC}_f/\text{SiC}$ à partir de **microtomographies X** : Une méthode de **marches aléatoires**

Gérard L. Vignoles

Jean-François Bonnenfant

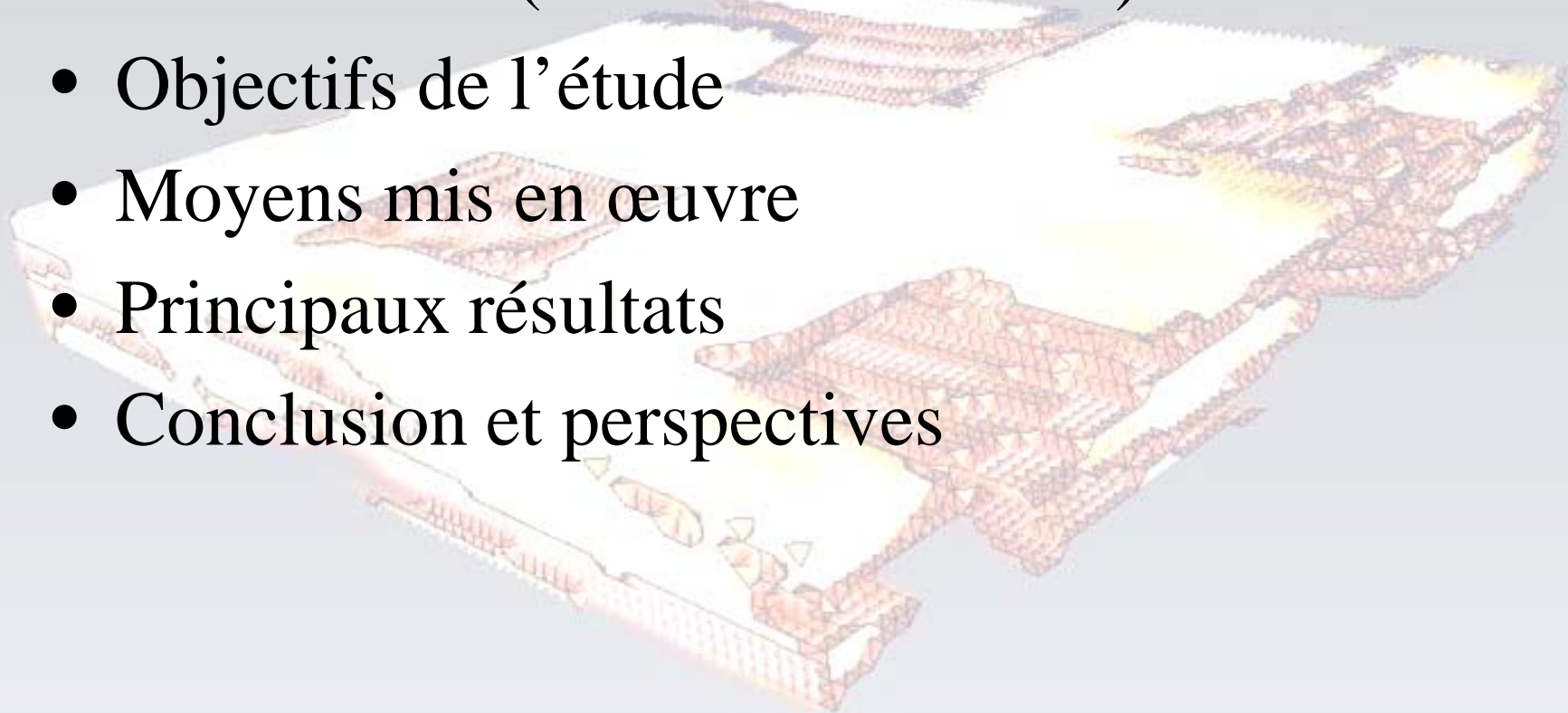
Ivan Szelengowicz

Lionel Gélébart, CEA/Saclay

# *Plan de la présentation*

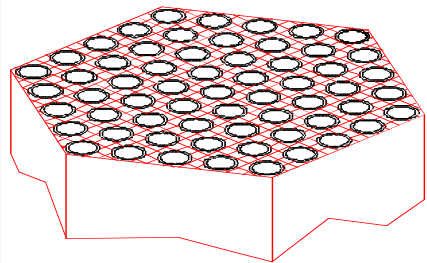
---

- Introduction (contexte industriel)
- Objectifs de l'étude
- Moyens mis en œuvre
- Principaux résultats
- Conclusion et perspectives

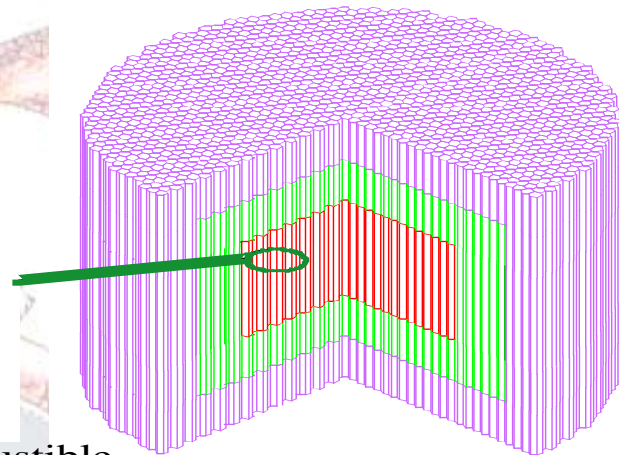


# Introduction

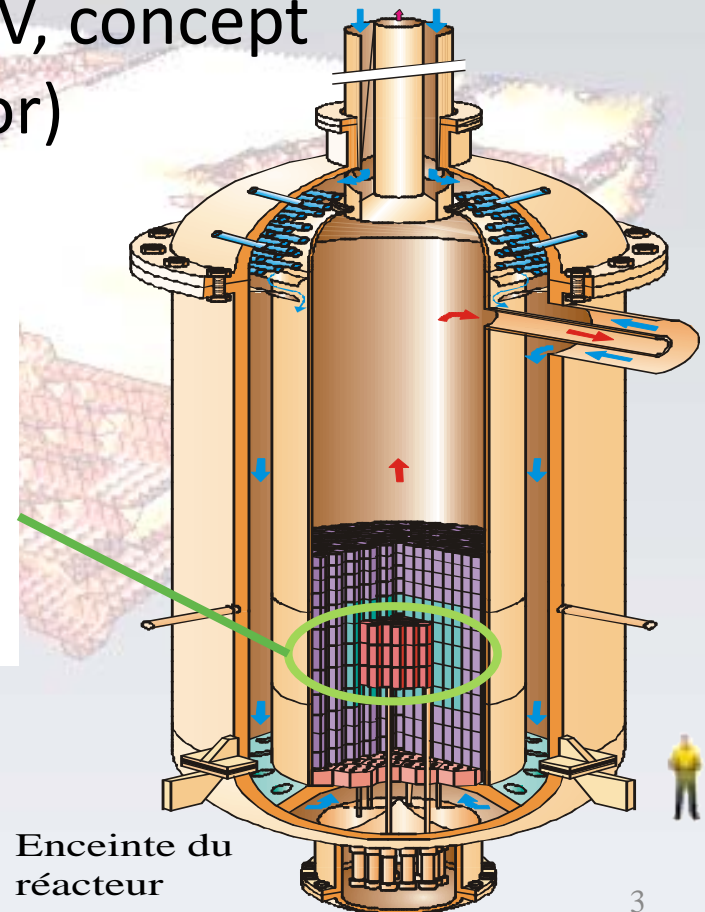
- Cadre du travail : Contexte industriel
  - Nucléaire civil : Génération IV, concept GFR (Gas-Cooled Fast Reactor)



Element de Combustible gainé par un CMC



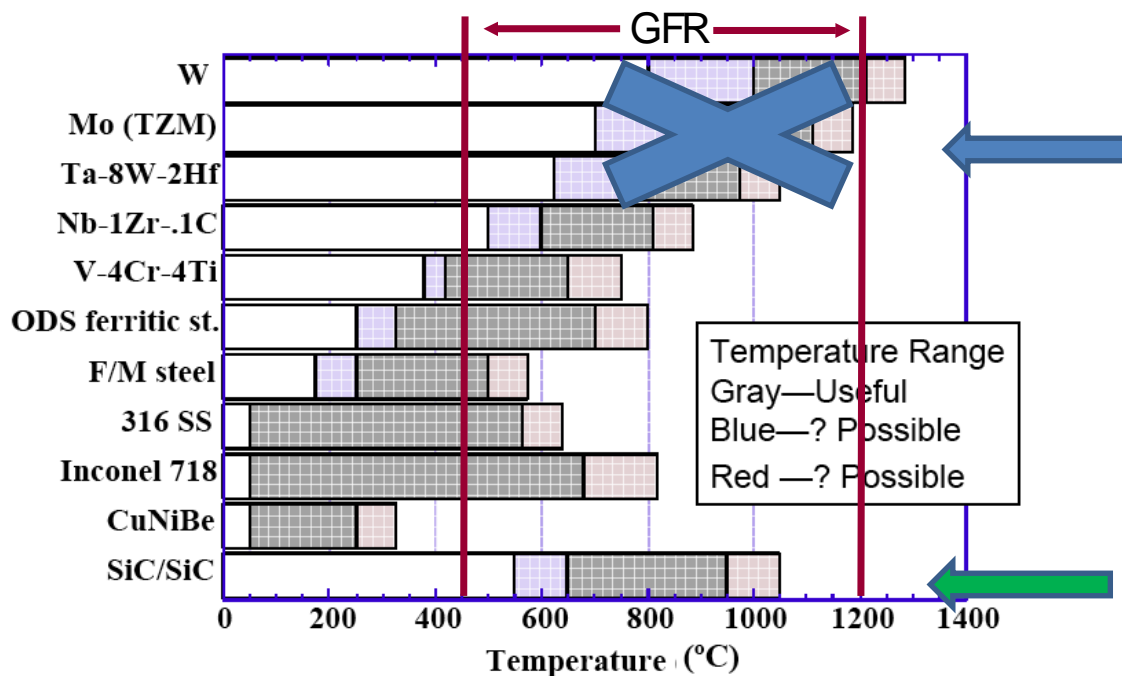
Structure du coeur



Enceinte du réacteur

# Introduction

- Cadre du travail - Contexte industriel



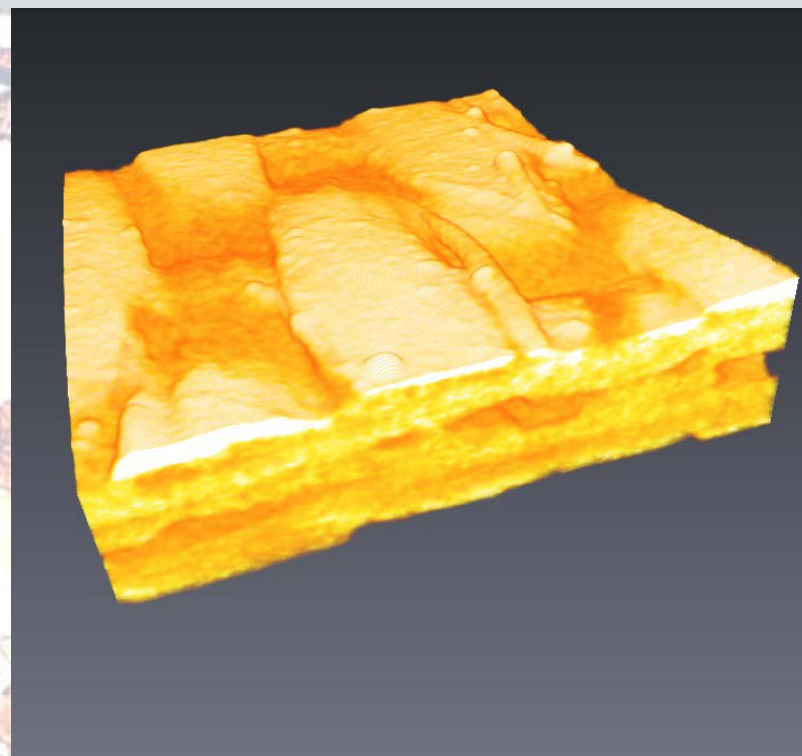
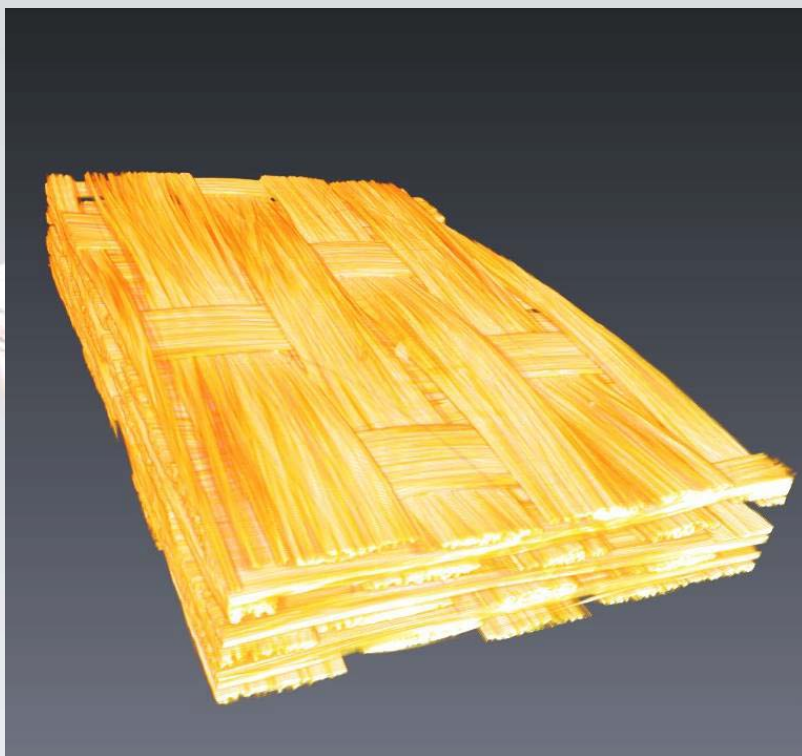
Absorption de neutrons trop élevée

**SiC<sub>f</sub>/SiC** : très bon candidat, mais ....

**Il faut garantir une conductivité thermique suffisante**

# *SiC<sub>f</sub>/SiC*

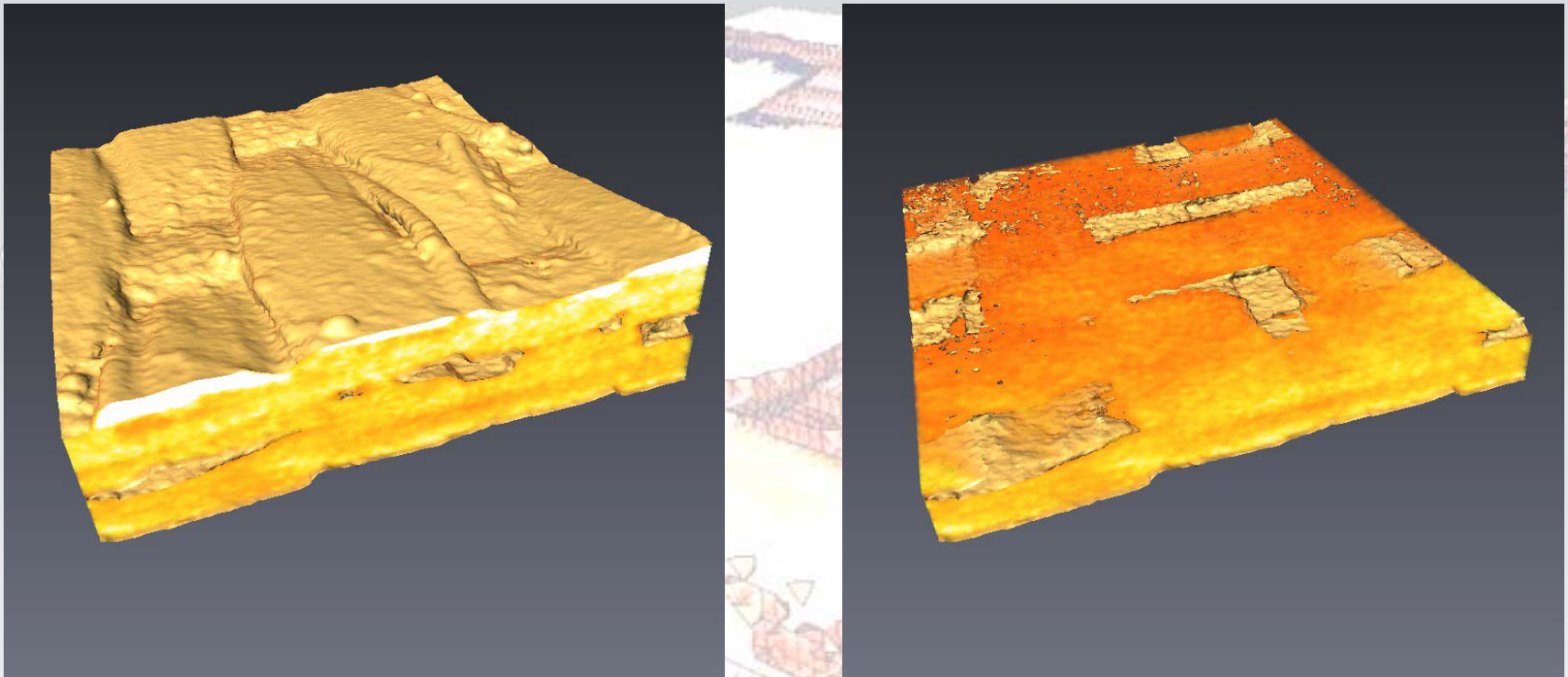
- Fibres tissées ; matrice obtenue par infiltration



Matériau hétérogène et anisotrope

# $SiC_f/SiC$

- Porosité résiduelle => cavités radiatives



Rôle du rayonnement à quantifier au-delà de  $\sim 1000^{\circ}\text{C}$

# Objectifs

- A partir de tomographies de matériaux  $\text{SiC}_f/\text{SiC}$ , évaluer la conductivité thermique effective, en prenant en compte **l'hétérogénéité**, **l'anisotropie** et le **rayonnement**
- Développement d'une méthode numérique spécifique :
  - Code de marches aléatoires inspiré des codes développés par les hydrogéologues
  - Marche aléatoire hybride solide (hétérogène anisotrope)/cavité
  - Discrétisation/facettisation de l'image, détection des cavités rayonnantes

# Méthode de marches aléatoires

- Mouvement brownien (hétérogène/anisotrope)

- Représentation des phénomènes de diffusion

- Equation de diffusion (2<sup>ème</sup> loi de Fick) :  $\frac{\partial C}{\partial t} = \text{div}(\underline{\underline{D}} \nabla C)$

$$\rho C_p \frac{\partial T}{\partial t} + \text{div}(\underline{\underline{k}} \cdot \underline{\nabla T}) = 0$$

$$-\underline{\text{div}} \underline{k} \cdot \underline{\nabla T}$$

hétérogène

+

$$-\underline{k} \nabla^2 T$$

Advection

par  $-\underline{\text{div}} \underline{k}$

Diffusion par  $\underline{k}$



# Marches aléatoires

- Mouvement brownien (hétérogène/anisotrope)
  - Lien avec les marches aléatoires (Einstein)
    - Détermination de la diffusivité effective :

Probabilité de présence  $p$  en  $x$  à  $t$   $\longrightarrow$  2<sup>e</sup> Loi de Fick :

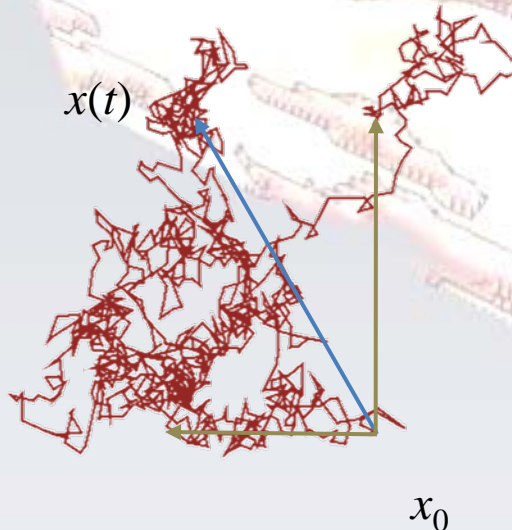
$$\frac{\partial p}{\partial t} = D_{local} \frac{\partial^2 p}{\partial x^2} \quad \text{avec} \quad D_{local} = \frac{\delta x^2}{2\delta t}$$

Intégration sur un grand nombre de marcheurs

$$\lim_{\substack{t \rightarrow \infty \\ N \rightarrow \infty}} \underline{\underline{\text{cov}(x(t) - x_0)}} = \underline{\underline{2D^{eff} t}} \quad (\text{en 3D})$$

Relation d'Einstein

$$\underline{\underline{k^{eff}}} = (\rho C_p)^{eff} \cdot \underline{\underline{D^{eff}}}$$



# Marches aléatoires

- Schéma de Itô-Taylor:

(avec processus de Wiener = tirage aléatoire du pas diffusif)

$$\underline{\delta r} = \underbrace{-\underline{divk} \cdot \delta t}_{\text{pas convectif}} + \underline{\underline{P}} \cdot \underbrace{\begin{pmatrix} \sqrt{2D_{xx} \delta t} \cdot \Omega_x \\ \sqrt{2D_{yy} \delta t} \cdot \Omega_y \\ \sqrt{2D_{zz} \delta t} \cdot \Omega_z \end{pmatrix}}_{\text{pas diffusif}}$$

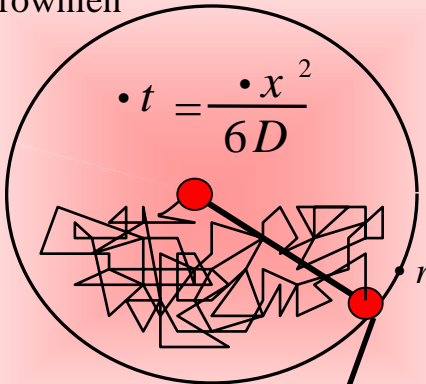
Où les  $\Omega$  sont des tirages aléatoires normaux unitaires et centrés

# Marches aléatoires

- Méthode des marcheurs aléatoires :
  - Régime Continu : méthode « Mouvement Brownien »

Mouvement  
Brownien

$$t = \frac{x^2}{6D}$$



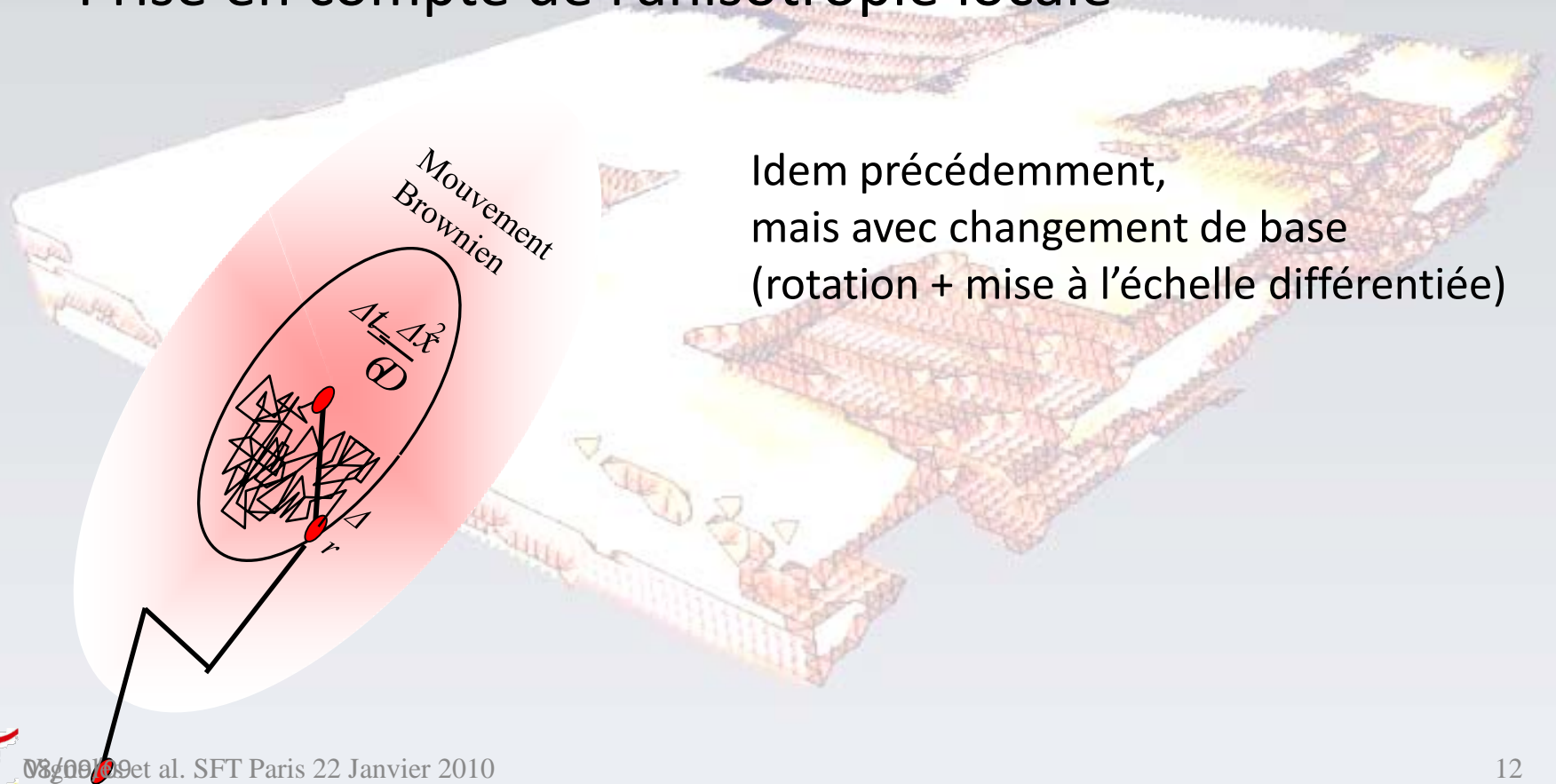
$$r = \Omega \delta x$$

$$t = \delta x^2 / 6D$$

- $r$  : vecteur de direction de propagation
- $\delta x$  : taille choisie d'un voisinage sphérique
- $\Omega$  : orientation aléatoire à densité isotrope (angle solide)

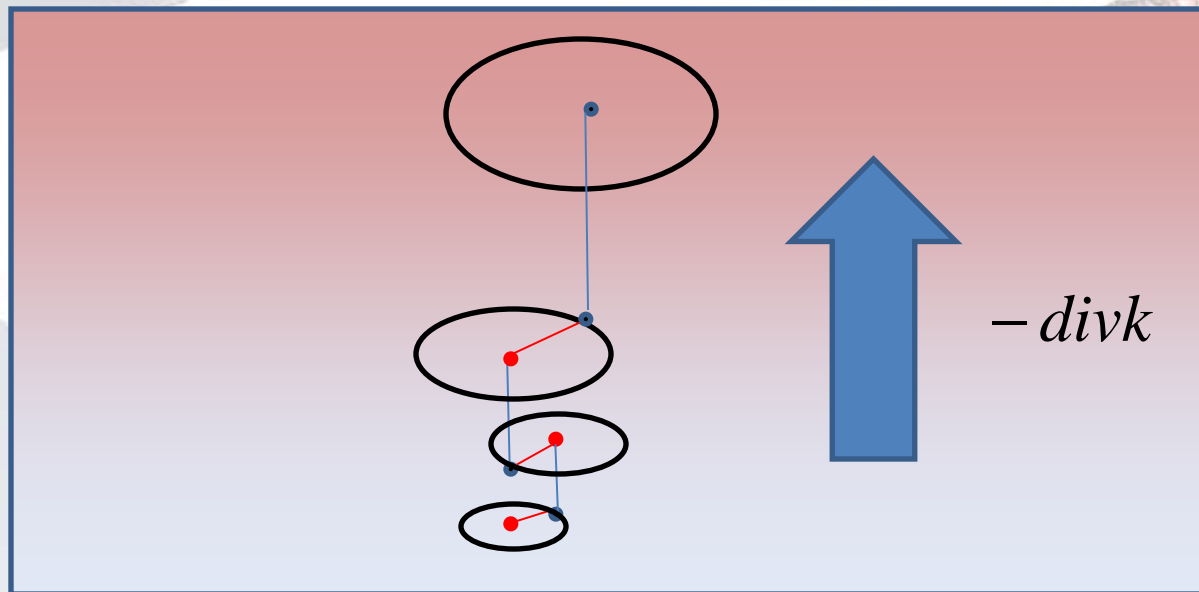
# Marches aléatoires

- Méthode des marcheurs aléatoires :
  - Prise en compte de l'anisotropie locale

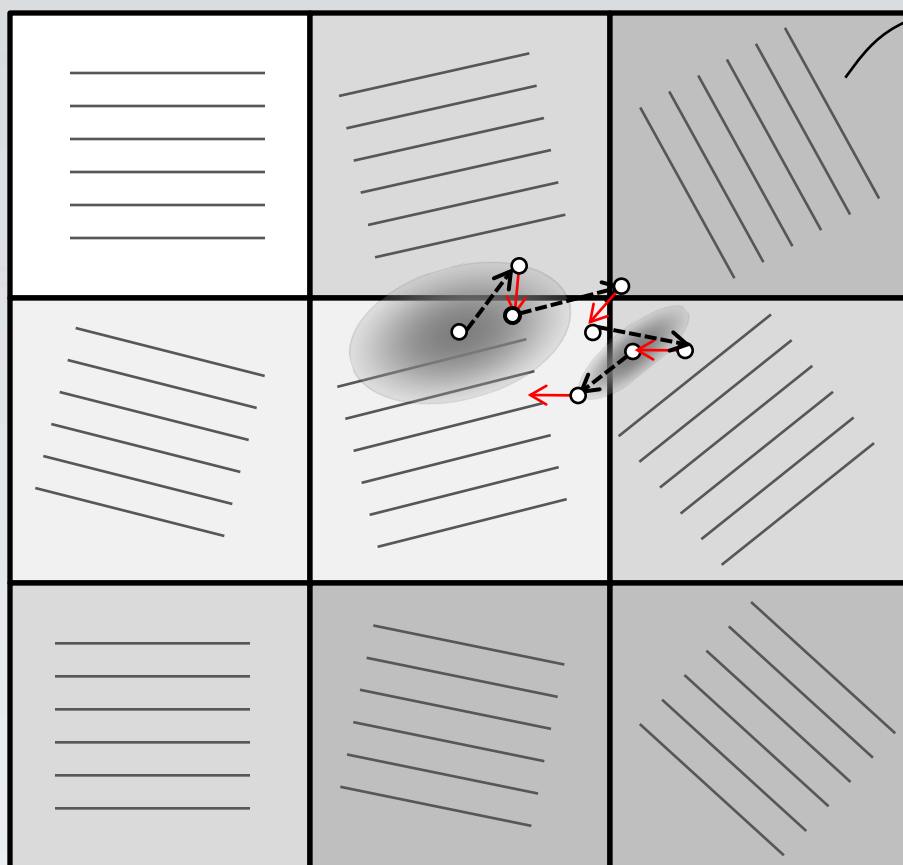


# Marches aléatoires

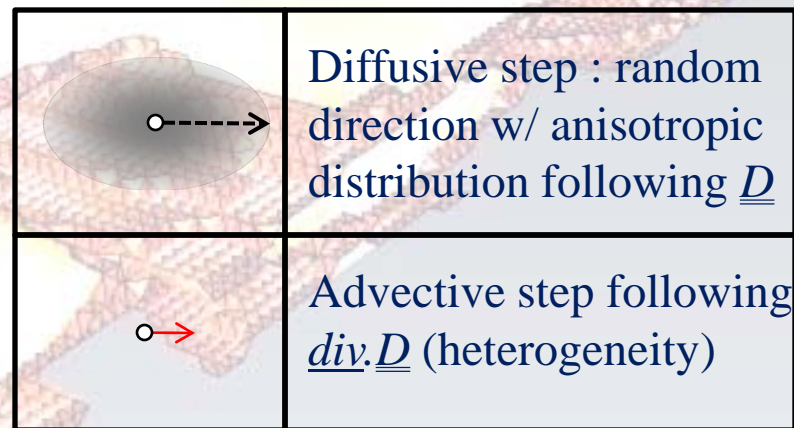
- Méthode des marcheurs aléatoires
  - *Représentation des pas advectifs et diffusifs :*



Conductivité anisotrope ET Gradient de conductivité



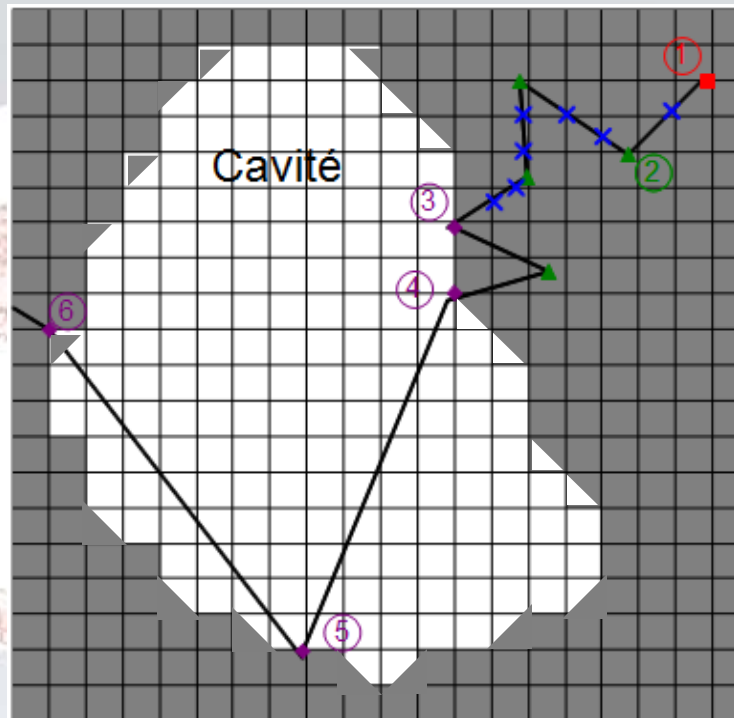
Diffusion tensor  $\underline{D}$   
 computed in each voxel from  
 greyscale value (density)  
 and local fiber orientation



# Moyens mis en œuvre

- Code avec rayonnement

- Adaptation Marche dans les cavités
- Loi cosinus de Lambert aux interfaces



- ① Lancement d'un marcheur
- ② Pas diffusif ou advectif
- ③ Collision paroi
- ④ Passage dans la cavité
- ⑤ Réflexion paroi
- ⑥ Retour dans le solide

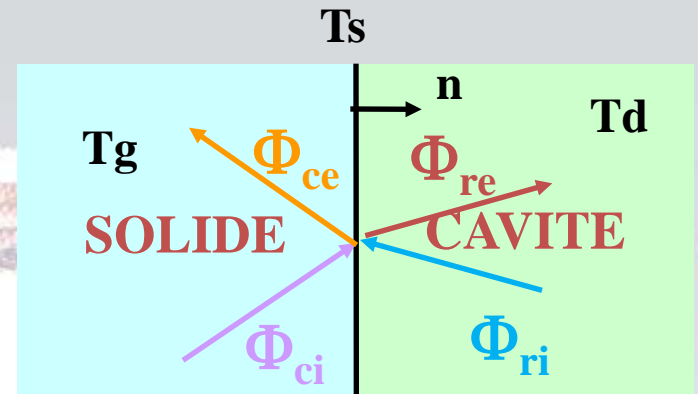
- |  |                   |
|--|-------------------|
| Lancement aléatoire                      | Collision binaire |
| Avancement jusqu'à la frontière du voxel | Collision paroi   |

# Moyens mis en œuvre

- Code avec rayonnement
  - Echange entre milieux



**P** : probabilité de passage d'un marcheur dans la cavité



- $\Phi_r$  : densité de flux radiatif émis ( $\text{W.m}^{-2}$ )
- $\Phi_c$  : densité de flux conductif ( $\text{W.m}^{-2}$ )
- $h$  : coefficient de transfert ( $\text{W.m}^{-2}\cdot\text{K}^{-1}$ )

$$P = \Phi_{re} / (\Phi_{ci} + \Phi_{ri})$$

$$1 - P = \Phi_{ce} / (\Phi_{ci} + \Phi_{ri})$$

$$\Phi_{ce} / \Phi_{re} = (1-P)/P$$

$$h = \varepsilon \sigma T^3$$

$$\left. \begin{aligned} \Phi_{ce} &\bullet k \cdot T_s / \bullet r \\ \Phi_{ci} &\bullet k \cdot T_g / \bullet r \\ \Phi_{re} &\bullet h \cdot T_s \\ \Phi_{ri} &\bullet h T_d \end{aligned} \right\} \rightarrow$$

$$\Phi_{re} / \Phi_{ce} = Nu_p = h \delta r / k$$

$\sim 1$  pixel

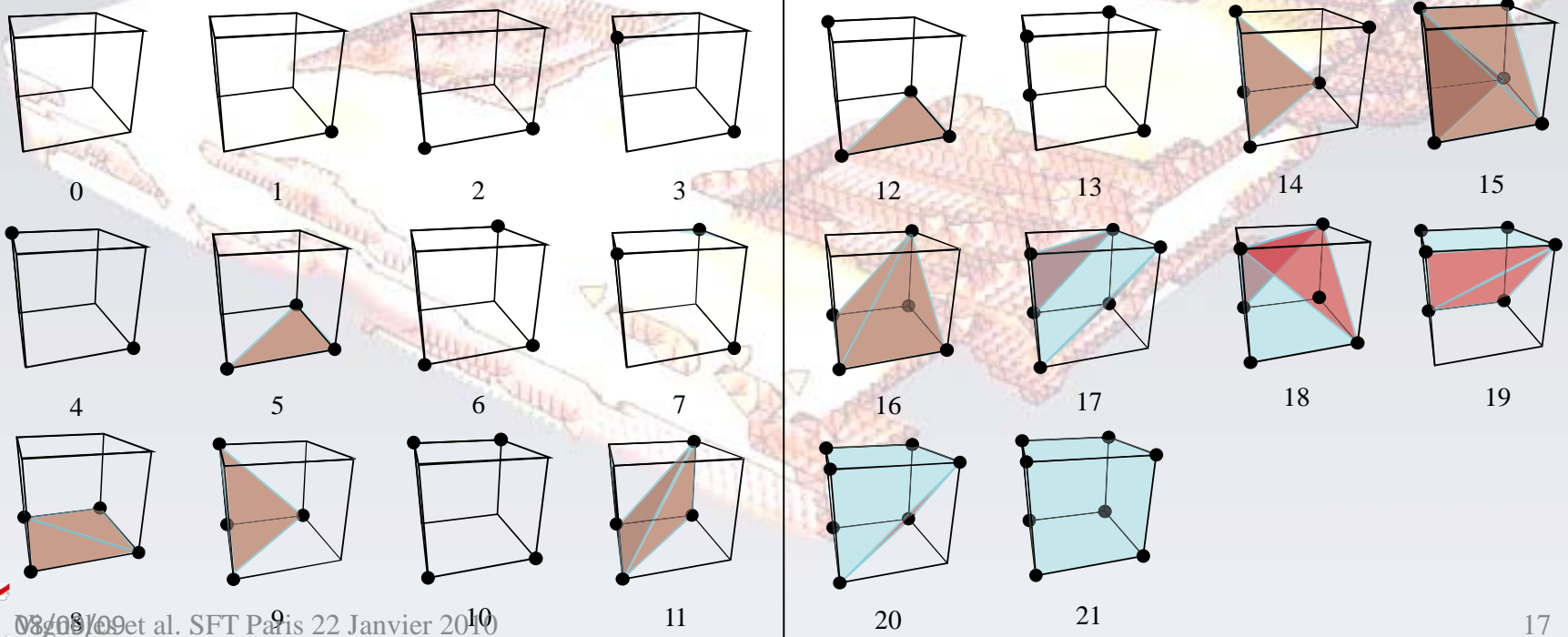
$$P = \frac{Nu_p}{1 + Nu_p}$$



# Moyens mis en œuvre

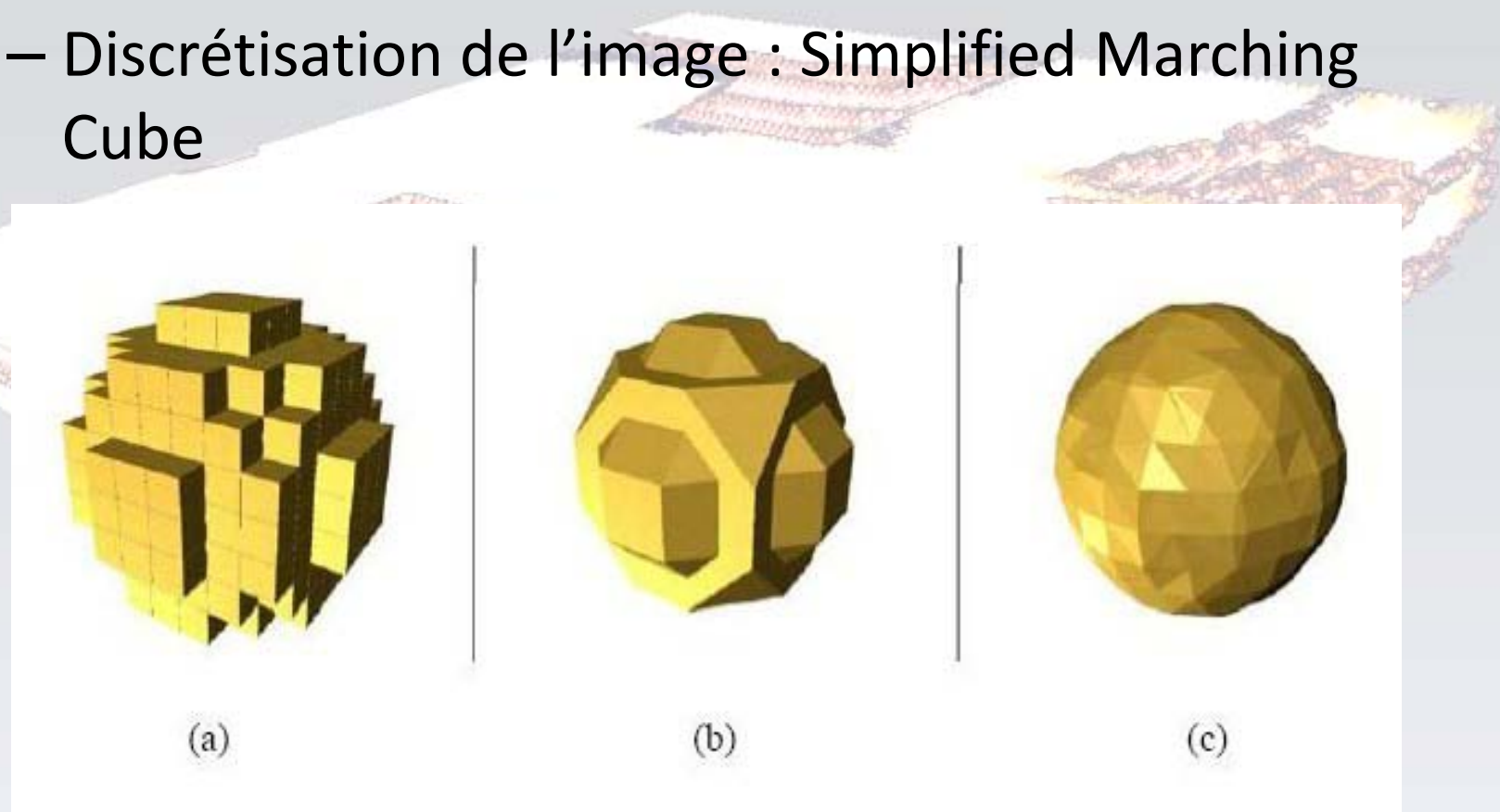
- Prétraitement de l'image

- Discrétisation de l'image : Simplified Marching Cube



# Moyens mis en œuvre

- Prétraitement de l'image
  - Discrétisation de l'image : Simplified Marching Cube



# Moyens mis en œuvre

- Prétraitement de l'image

- Acquisition d'une image : microtomographie X, ou génération « artificielle »

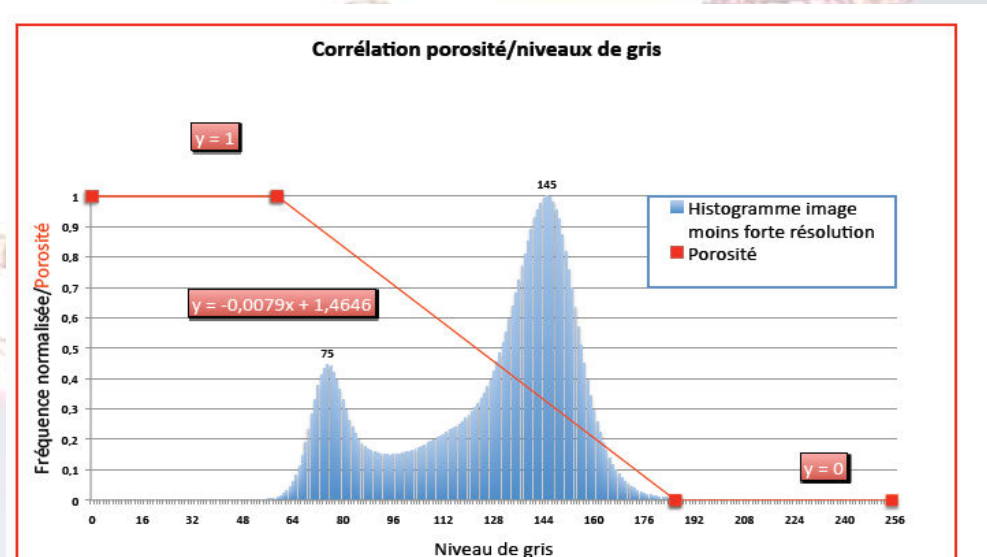
- Paramétrage de l'image :

- Calibration :

Niveau de gris



porosité



# Moyens mis en œuvre

- Prétraitement de l'image

- Acquisition d'une image : microtomographie X, ou génération « artificielle »

- Paramétrage de l'image :

- Loi locale :

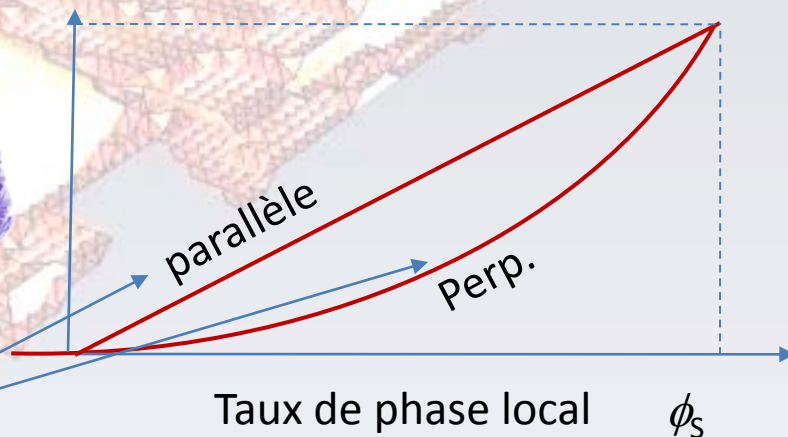
porosité



Propriétés locales

Conductivité locale réduite

$$\lambda/\lambda_{\text{sic}}$$

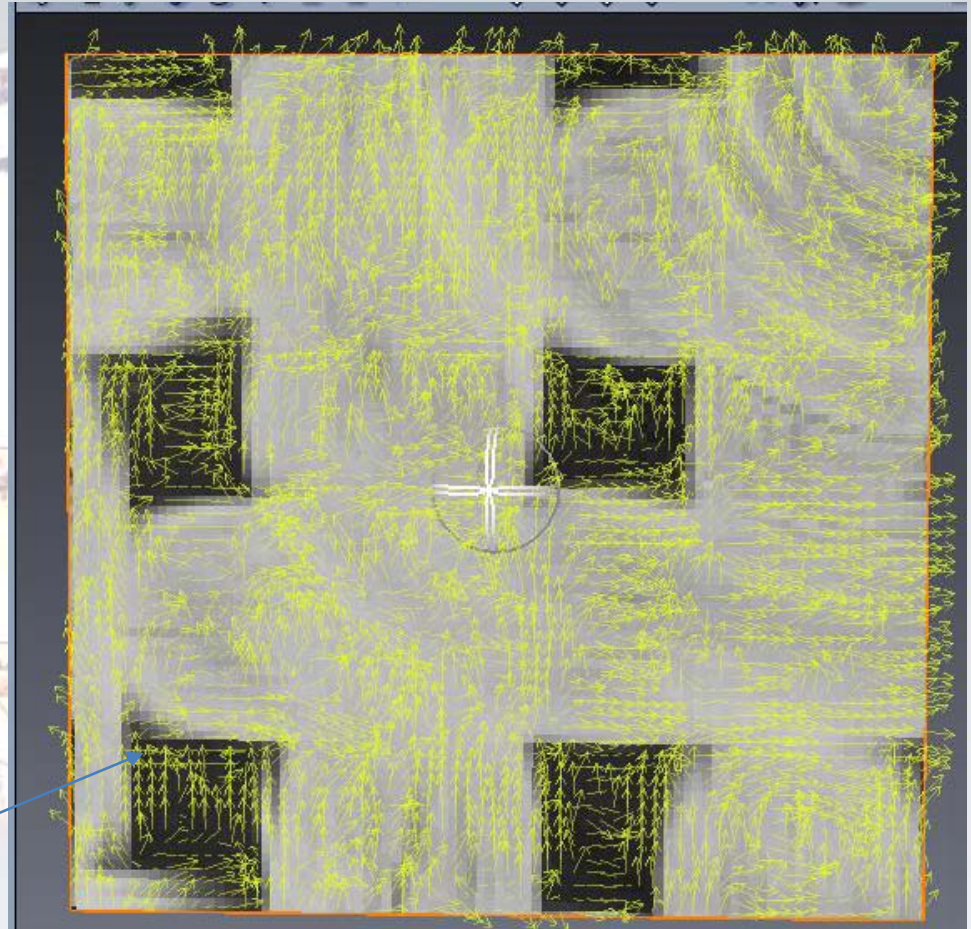


# Moyens mis en œuvre

- Prétraitement de l'image
  - Détection de l'anisotropie du matériau : calcul des orientations

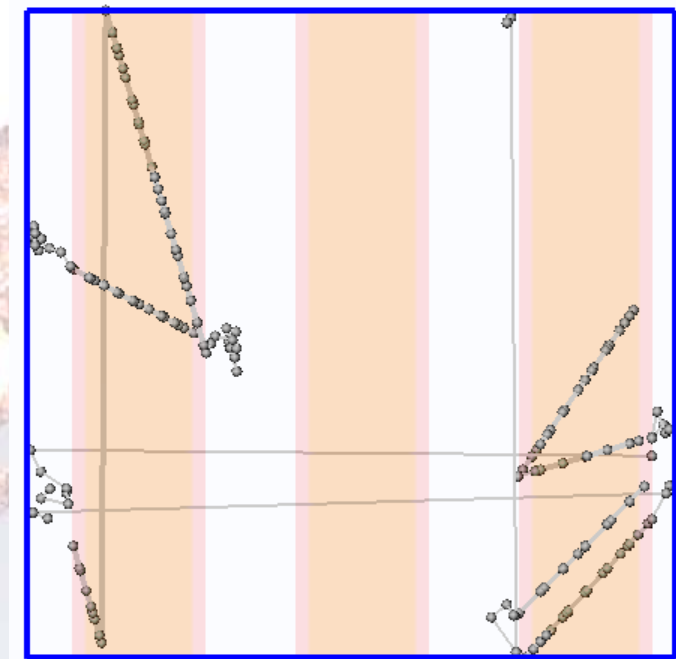
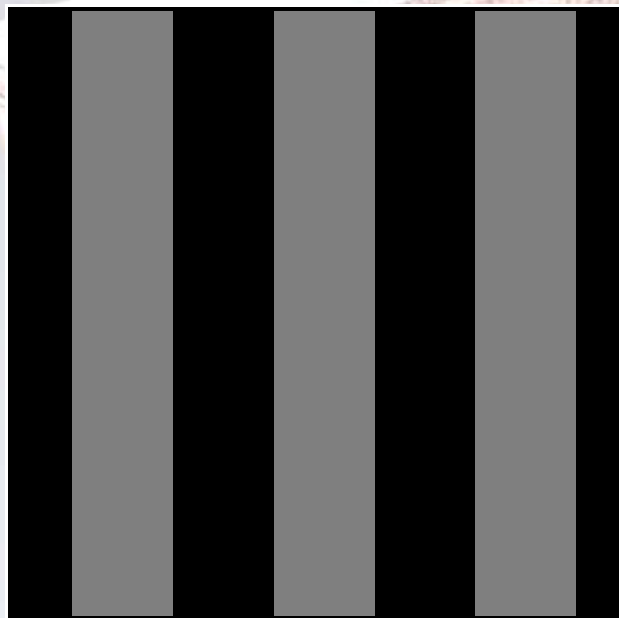
calcul des valeurs propres du tenseur de structure

$$\nabla^2 I$$



# Principaux résultats

- Code avec rayonnement
  - Passage des « benches »
    - Image « feuilletée » avec solution analytique :



# Principaux résultats

- Code avec rayonnement

- Passage des « benches »

- Image « feuilletée » avec solution analytique :

Dans le solide :

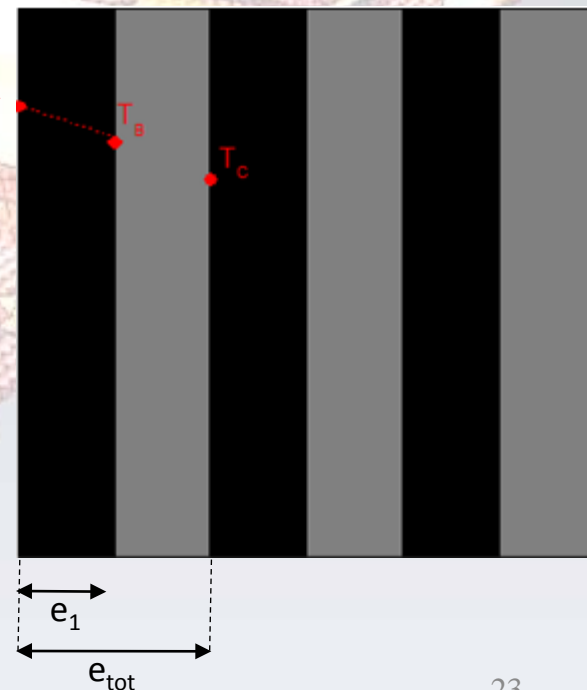
$$q = \frac{-k_{sic} \cdot (T_B - T_A)}{e_1}$$

Dans le fluide :

$$q = \varepsilon \sigma (T_B^4 - T_C^4) = \varepsilon \sigma \tilde{T}_B^3 (T_B - T_C)$$



$$k^{eff} = \frac{e_{tot}}{e_1} \cdot \frac{Nu}{1 + Nu} \cdot k_{sic} \quad \text{Avec} \quad Nu = Nu_p \frac{e_1}{\delta r}$$



# Principaux résultats

- Code avec rayonnement

- Passage des « benches »

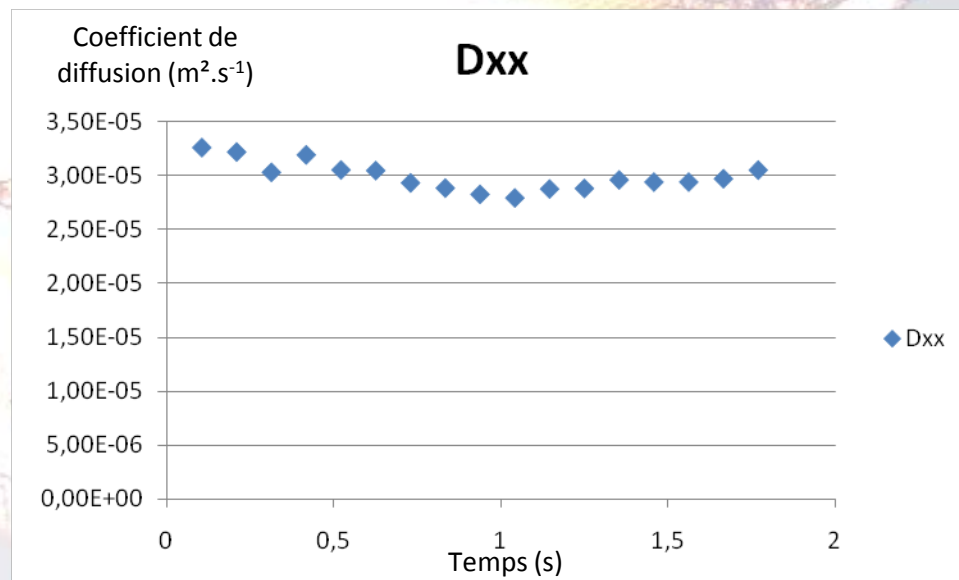
- Image « feuilletée » avec solution analytique :

$$\lambda^{eff} = (\rho C_p)^{eff} \cdot \alpha^{eff}$$

$$\alpha^{eff} = \left( \frac{e_{tot}}{e_1} \right)^2 \cdot \frac{Nu}{1 + Nu} \cdot \alpha_{sic}$$

Avec  $P = 0,4$

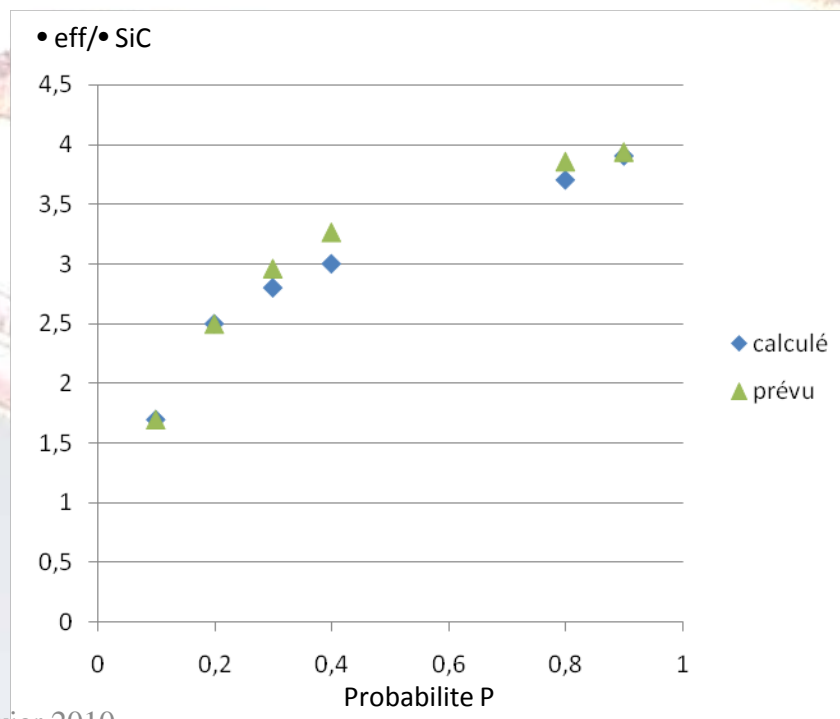
$$\alpha^{eff} = 3,26 \cdot 10^{-5} \text{m}^2 \cdot \text{s}^{-1}$$





# Principaux résultats

- Code avec rayonnement
  - Passage des « benches »
    - Image « feuilletée » avec solution analytique :



# Principaux résultats

- Code avec rayonnement

- Passage des « benches »

- Sphère 3D :

Arrangement cubique centré → Solution analytique :

$$\frac{\lambda^{eff}}{\lambda_{SiC}} = 1 + \frac{3\beta\varepsilon}{1 - \beta\varepsilon - a_1 \frac{\beta^2}{1 + 2\beta/7} \varepsilon^{10/3}}$$

Formule de Rayleigh

$$\varepsilon = 0.27$$

$$a_1 = 0.073886$$

$$\lambda_{SiC} = 20 \text{ W/m/K}$$

$$\beta = \frac{\lambda_{cavité} - \lambda_{SiC}}{\lambda_{cavité} + 2\lambda_{SiC}} = -1/2$$

$$\lambda^{eff} = 12,86 \text{ W / m / K}$$

# Principaux résultats

- Code avec rayonnement

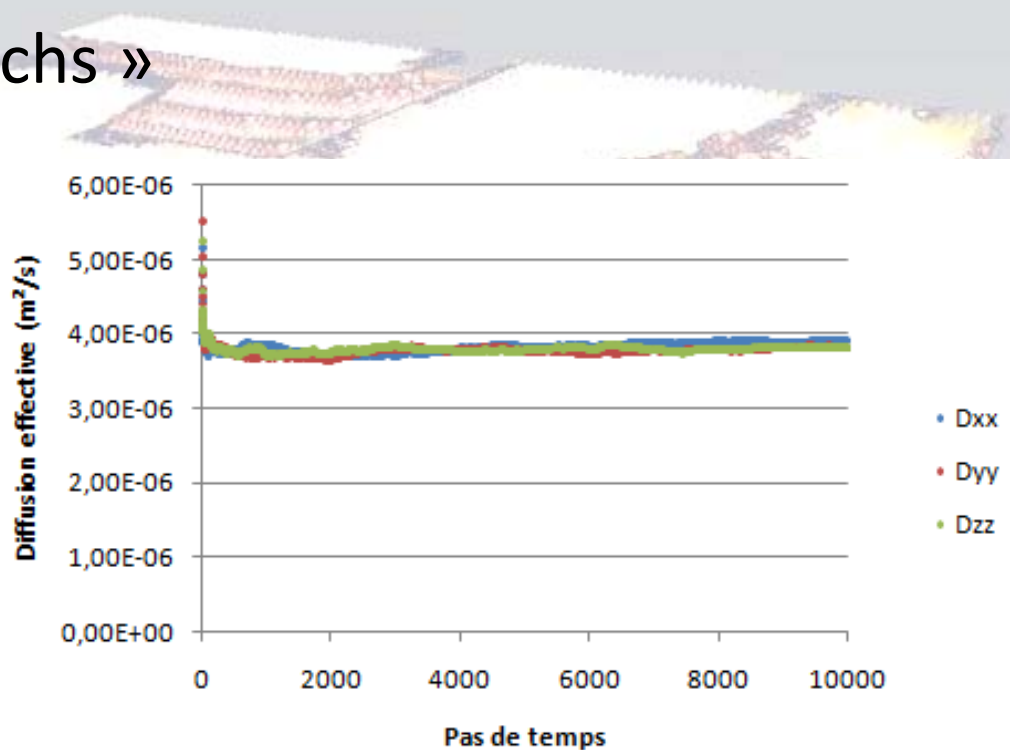
- Passage des « benches »

- Sphère 3D :

$$\lambda^{eff} = (\rho C_p)^{eff} \alpha^{eff}$$

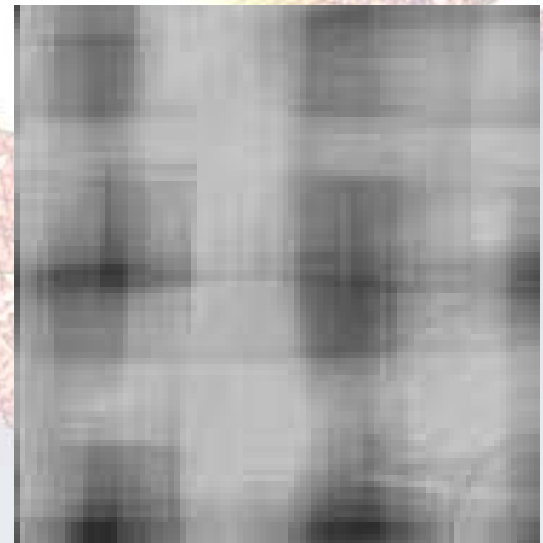
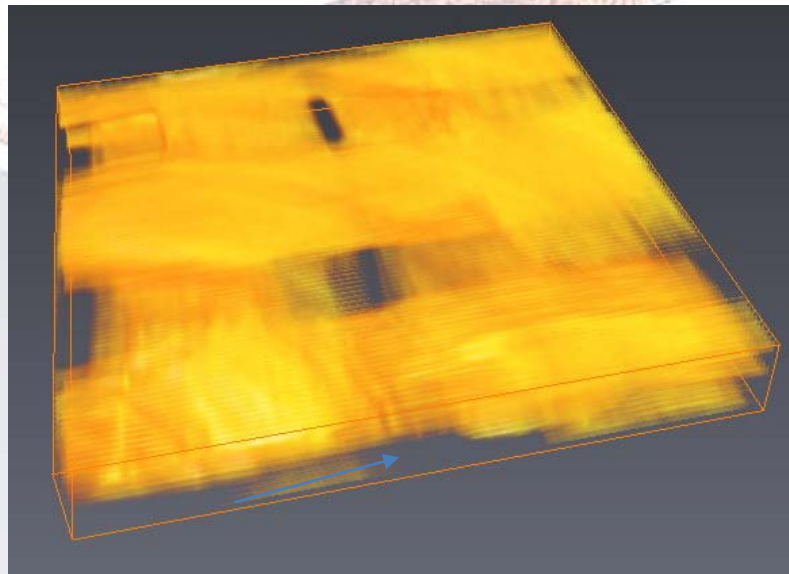


$$\lambda^{eff} = 12,72 W / m / K$$



# Principaux résultats

- Code sans rayonnement
  - Validation progressive du code
  - Application à l'image réelle

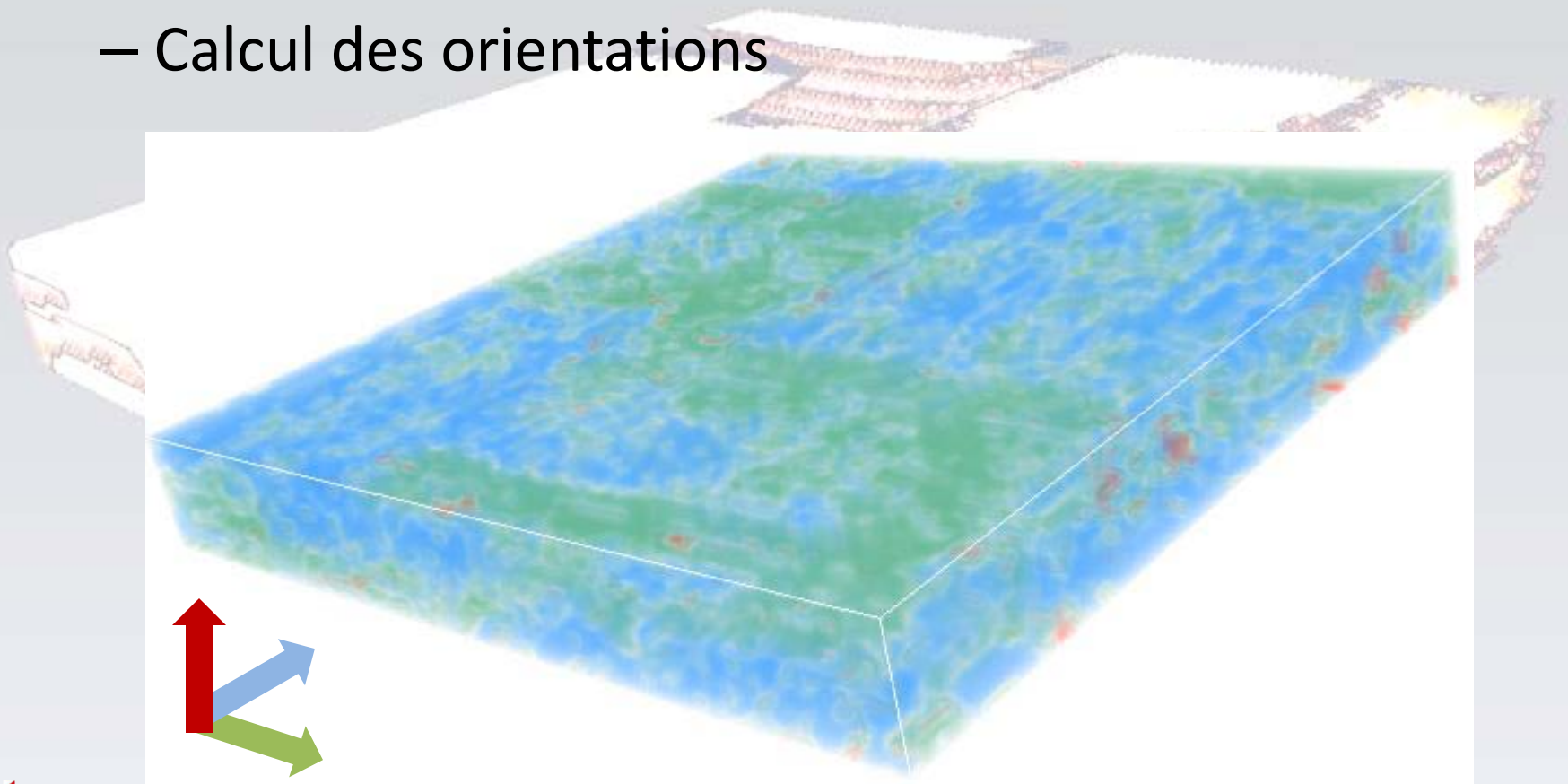


Projection sur l'ensemble de l'épaisseur

# Principaux résultats

---

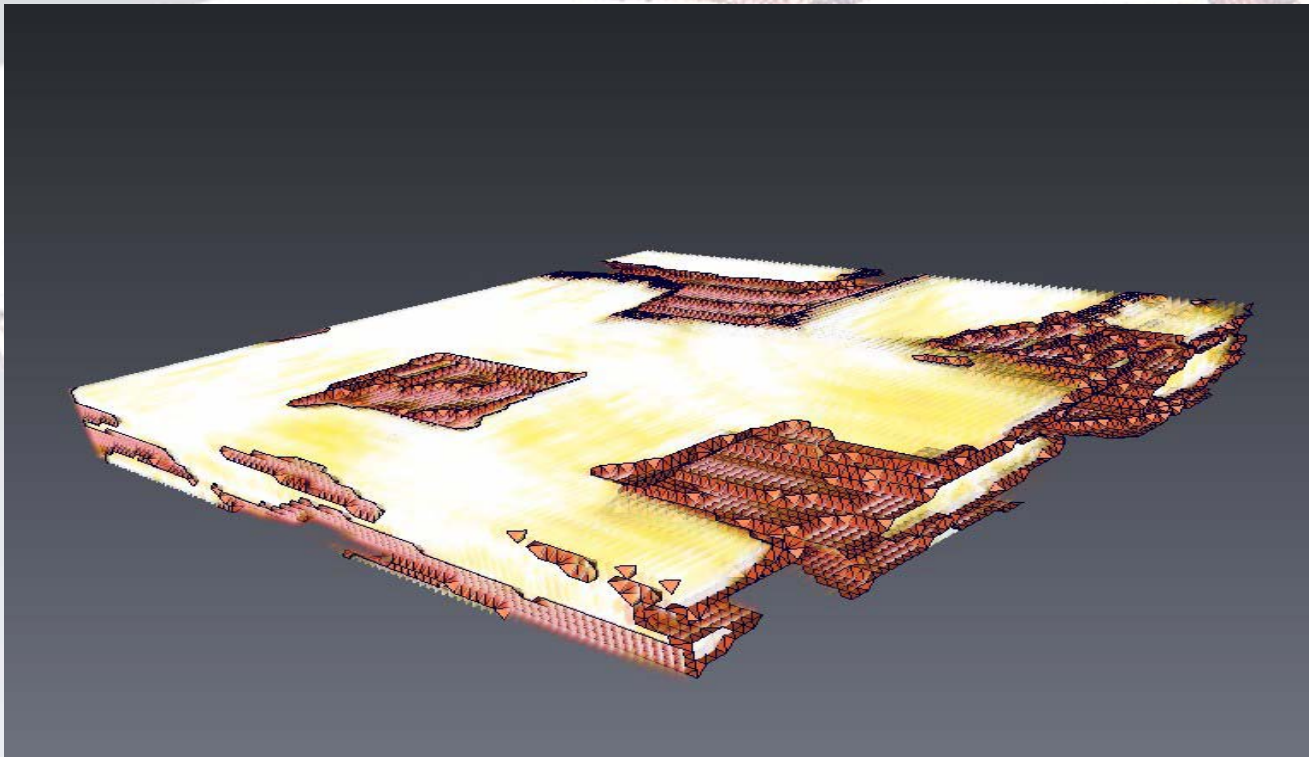
- Code sans rayonnement
  - Calcul des orientations



# Principaux résultats

---

- Code sans rayonnement
  - Discrétisation fluide/solide (SMC)

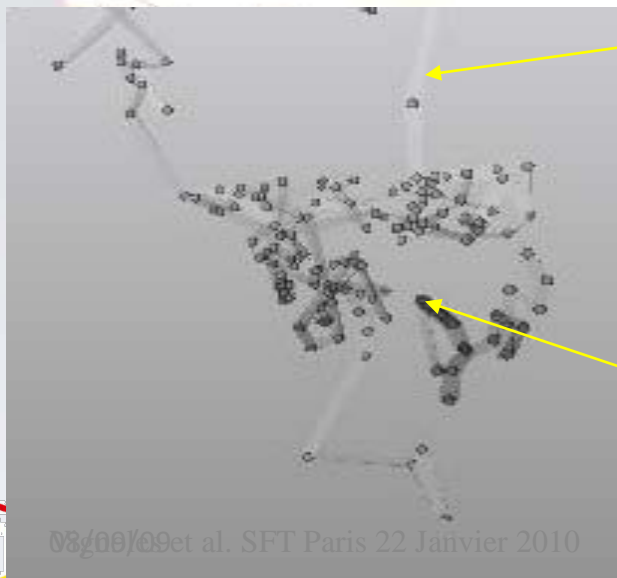


# Principaux résultats

- Code sans rayonnement

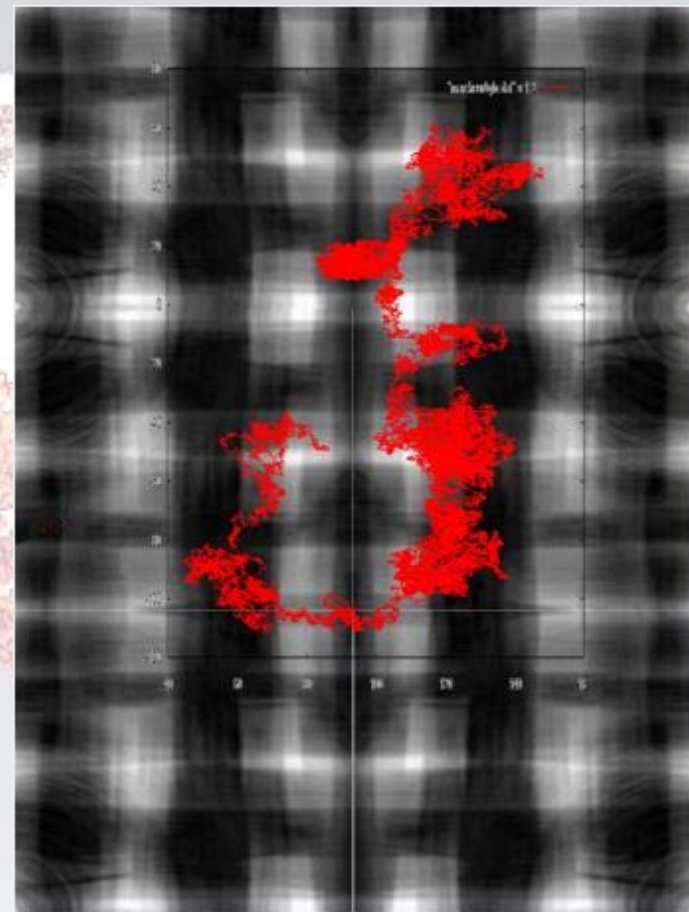
- Résultats obtenus :

-Prise en compte de l'anisotropie et de l'hétérogénéité du matériau



Points clairs =  
Matériau bon  
conducteur  
= pas de marche longs

Points sombres =  
Matériau peu  
conducteur  
= pas de marche courts

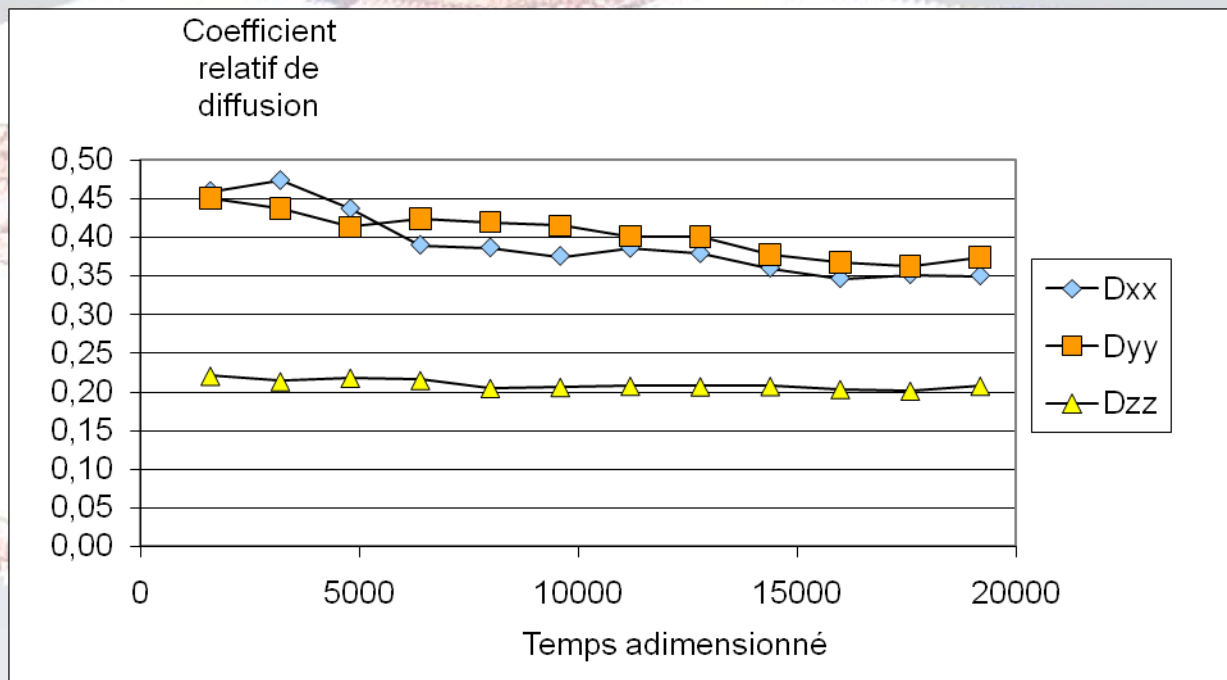
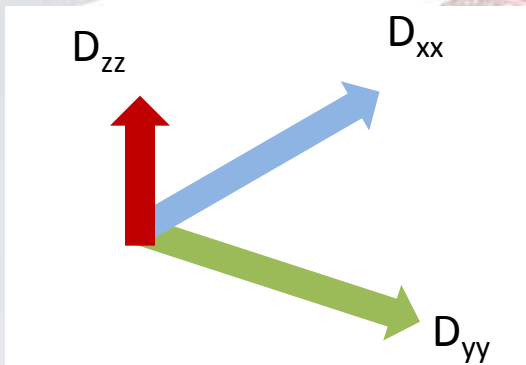


# Principaux résultats

- Code sans rayonnement

- Résultats obtenus :

- Convergence



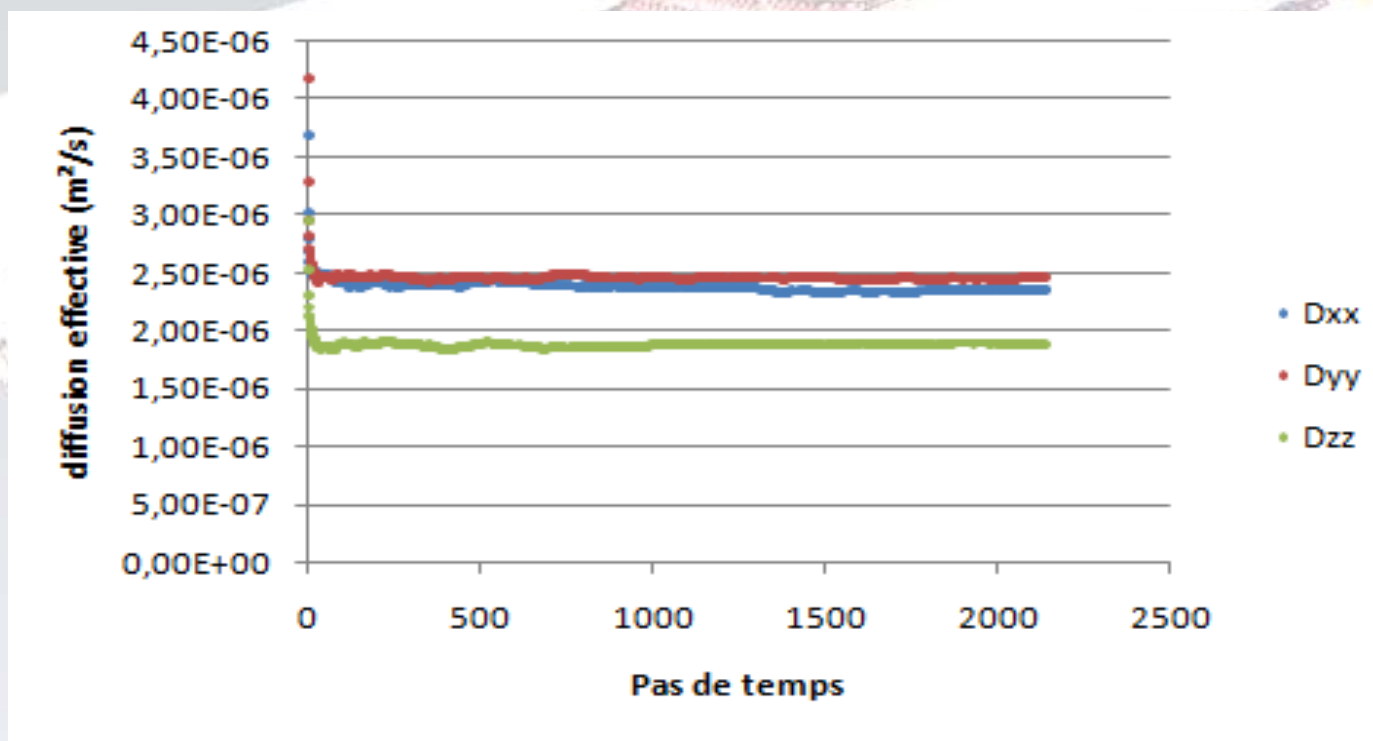
- Valeurs du tenseur effectif : 37% en x et y , 20% en z !

=> la texturation macro pilote l'anisotropie globale effective



# Principaux résultats

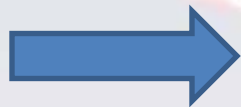
- Code avec rayonnement : 10% de réduction d'anisotropie



# Principaux résultats

---

- Réponse au besoin
  - Analyse dimensionnelle du problème posé
    - Taille de cavités rayonnantes  $\sim 100 \mu\text{m}$
    - Conductivité du SiC  $\sim 20 \text{ W/m/K}$
    - Emissivité  $\sim 0.7$
    - $\Rightarrow$  Nusselt « de cavité »  $\sim 3 \cdot 10^{-3}$



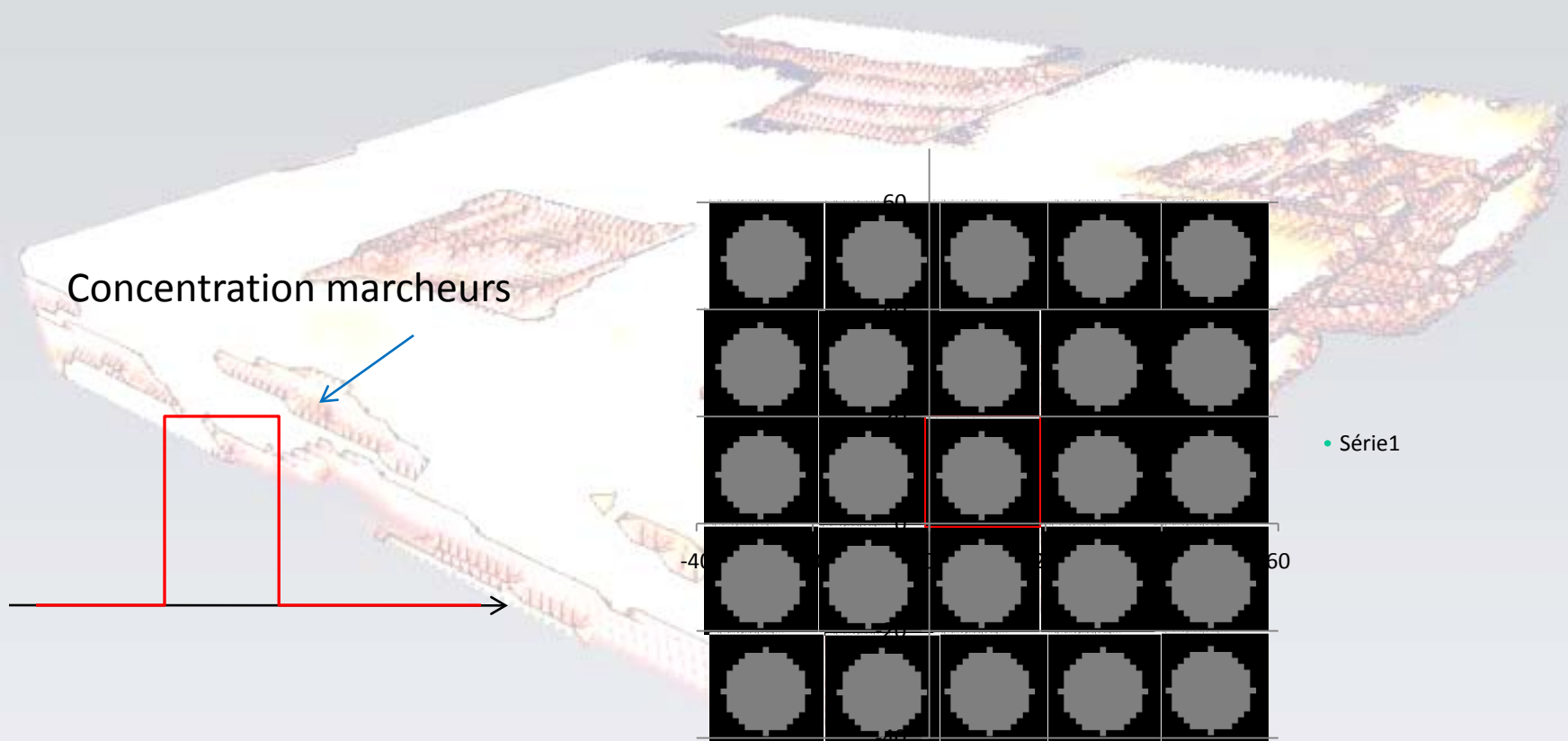
Calcul avec radiation seulement nécessaire pour l'**anisotropie**

# Conclusion et perspectives

---

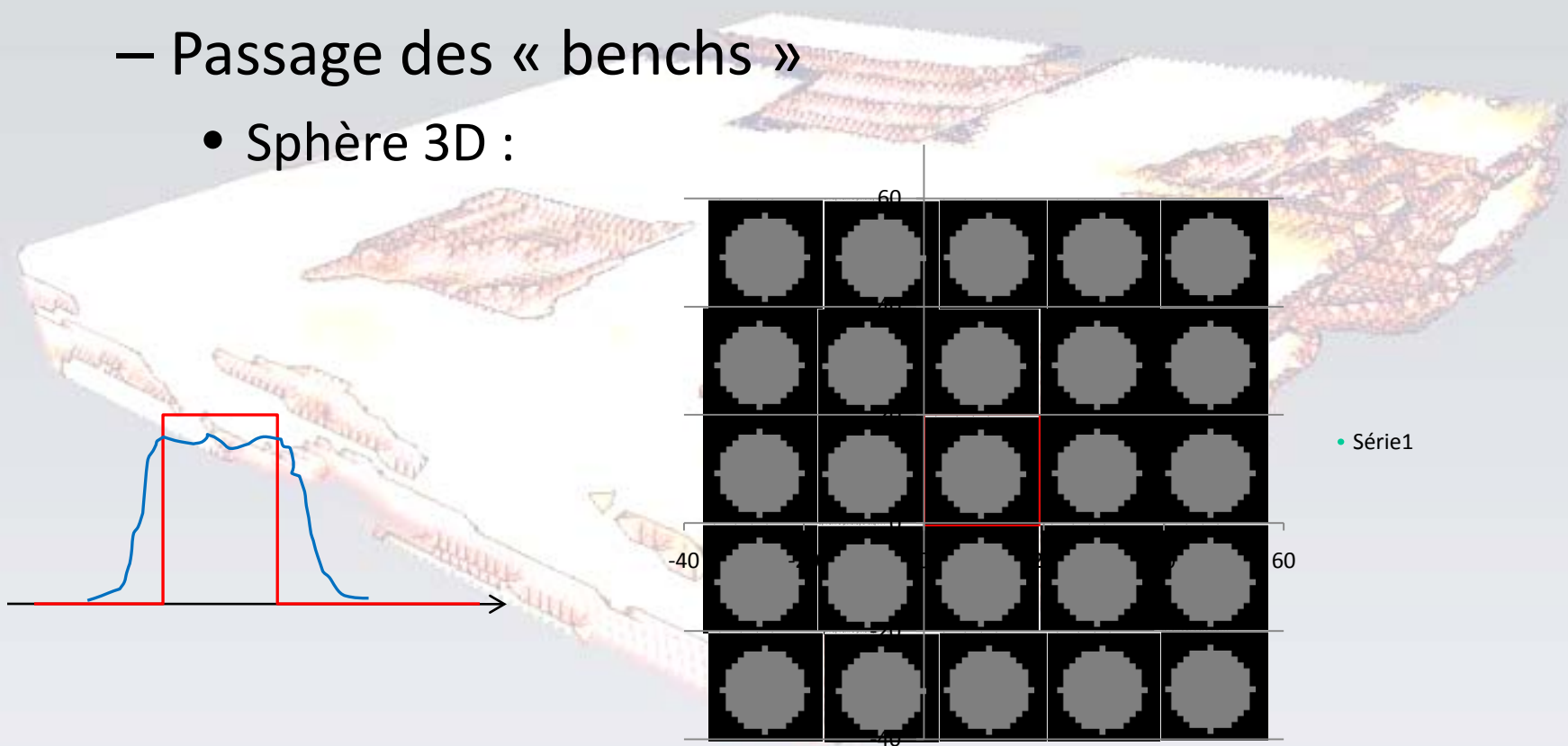
- Validation progressive du code avec rayonnement sur des images simplifiées
- Validation du code sans rayonnement sur image réelle : convergence rapide, détection de l'anisotropie
- Application à l'image réelle Calcul de la conductivité effective du matériau.
- Comparaison avec les résultats précédemment obtenus sans rayonnement, afin d'observer son influence.
- Comparaison avec d'autres méthodes (Eléments finis)

# Marches aléatoires



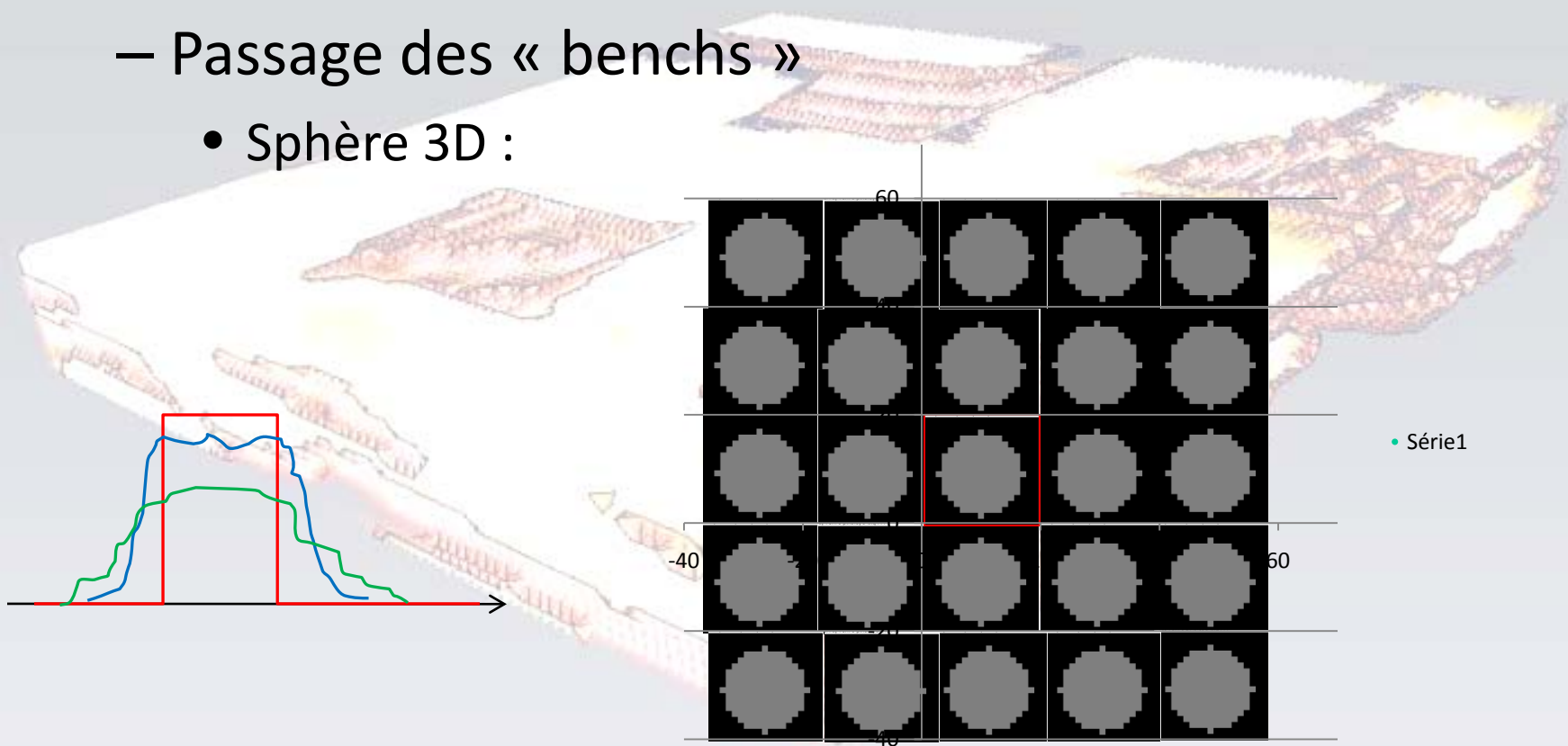
# Principaux résultats

- Code avec rayonnement
  - Passage des « benches »
    - Sphère 3D :



# Principaux résultats

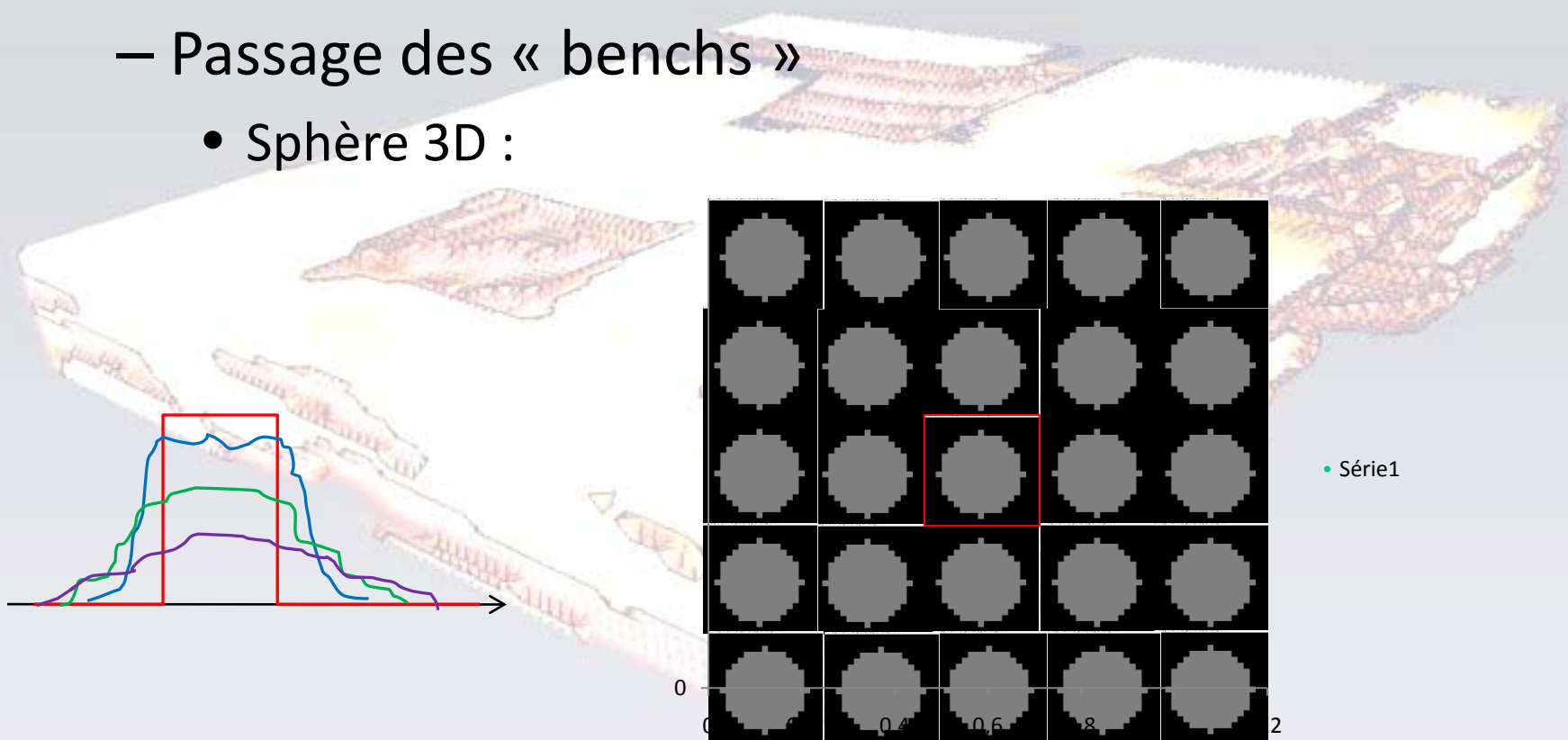
- Code avec rayonnement
  - Passage des « benches »
    - Sphère 3D :



• Série1

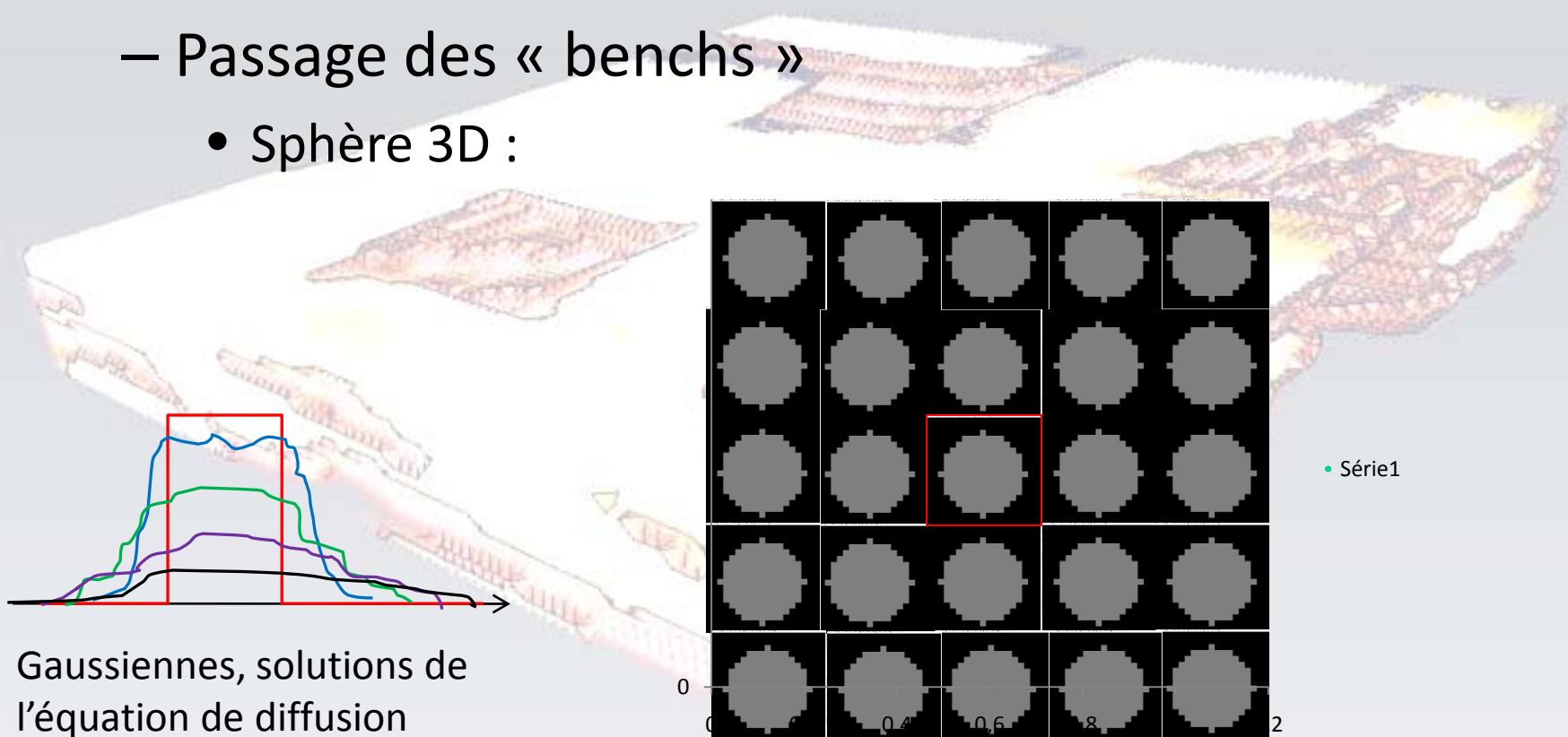
# Principaux résultats

- Code avec rayonnement
  - Passage des « benches »
    - Sphère 3D :



# Principaux résultats

- Code avec rayonnement
  - Passage des « benches »
    - Sphère 3D :



Gaussiennes, solutions de l'équation de diffusion



# Principaux résultats

- Code avec rayonnement

- Passage des « benches »

- Cylindre 2D :

